

名古屋高速道路公社 工務部設計課 正会員 加藤 三樹夫

佐藤 章次

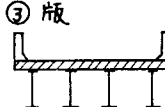
市川 実

1. 考え方 並列工桁曲線橋を設計する場合、橋種の形式選定は、合成・非合成の判定条件ならばに適用範囲に関する資料が乏しく、施工例を参考にして判断されるようである。鋼桁とコンクリート床版との合成せざる現行の合成桁において、版に生ずるせん断力と主引張応力に偏りを子ための計算等、煩雑さを伴うもので、ある程度の曲率や斜角を有するものは、非合成桁と処理されている。既往の工桁橋について、床版のひび割れの報告を見聞きするが、版の設計上の仮定にも起因するのではないかろうか。床版或いは版を支える並列工桁の形状によるとどうなる影響があるのか、本研究では桁の曲率を変化させて版に生ずるせん断力と主引張応力をみて合成桁への適否を探ろうとするものである。

2. 設計段階での仮定 二の研究では、支間、中員、横構、構造解析方法など、多くの組合せが必要となる。

a) 支間長、中員を一定にして中心角のみ変化させる。横構は下側のみとする。

b) 構造解析方法、床版に生ずるせん断応力度は、開断面の場合、ネジリによる影響が非常に大きい。合成工桁における床版のネジリ剛性が大部分であり、しかも床版は、橋軸直角方向にも連続していける為、ネジリに対しては、各桁ごとに床版を切り離して考えることは、実橋に合わない。したがってこの解析方法としては次の様な構造系が考えられる。



今回は、橋軸方向は①格子ごと求め、ネジリに対する床版のせん断応力は②2.凝似箱桁ごとて検討する。

$$\text{換算板厚式} \quad \text{下横構 } t_c = \frac{E}{G} \cdot \frac{\alpha \lambda A_d}{d^3}$$

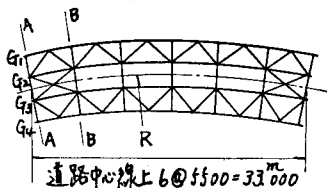
i). 断面力算出：変形法 JIP の GRID 使用。
ii). 格子形状の比較検討： $R=300$ 、開断面により下記の CASE により検討。

CASE 0：多角形折れ線でネジリ剛度を考慮。

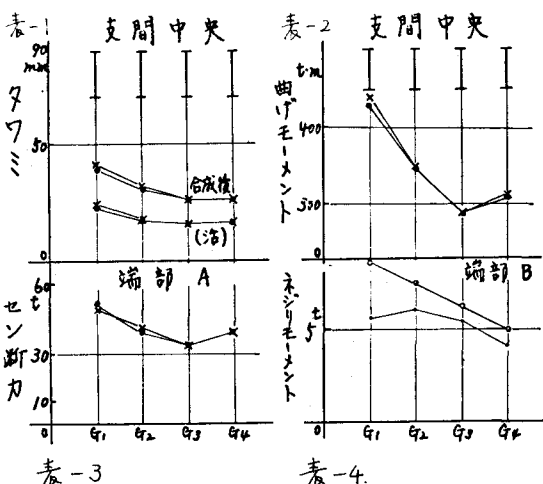
CASE 1：曲線でネジリ剛度を考慮。

CASE 2：多角形折れ線でネジリ剛度を無視。

CASE 3：曲線でネジリ剛度を無視。



- 風 例
 ● case 0
 ○ case 1
 × case 2



タウミ(表-1)：case 3 における値が非常に信頼できぬ為解析途中で省略した。case 2 については、若干ネジリの影響が見られた。ネジリモーメント(表-2)：ネジリを無視した case 0 方にいくぶん大きくなる結果になってしまった。ネジリモーメント(表-4)：case 1 が case 0 より大きくなるが、今後の試算では、端部横構に及ぼす支点上のネジリの拘束を考慮して、端部のネジリモーメントを把握する再試算を行おう。せん断力(

表-3) 各 case 共に差はない。以上により、case 0 は仮定検討である。

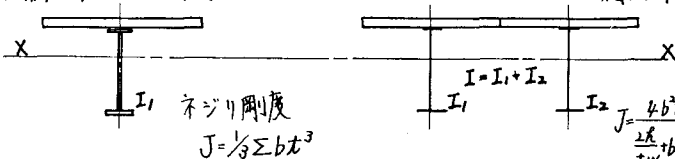
iii) 主桁と、横桁との結合は、剛結とし横桁のネジり剛性は無視する。

iv) モデル case として巾員 8.5m、支間長 33m、曲率半径と下記の様に 4 段階で変化させる。R=150, $\frac{1}{R}=E=0.220$, R=200 → E=0.165, R=250 → E=0.132,

R=300 → E=0.110, なお、荷重項は一定とする。

v) 仮定剛度は、各 case 一定とするが①格子と②工筋似箱形では、次の様に仮定する。①格子

②工筋似箱形



3. 結果と考察 タワミ(表-6)から、R が大きくなるにつれて外平行内平行の差が小さくなる。すなはち、開断面と閉断面の差は、閉断面の方がかかより小さい。ネジリモーメント(表-7)から、表-6 と同様ネジり剛性影響が解かる。以下、ネジリモーメントと、セ

表-8 セン断力 (t)

ン断力は、床版端部の値である。表-9 の結果から閉断面は、閉断面と比べてネジり剛性が小さいため床版に対するセン断応力は、当然大きくなる。逆にレガレでは、閉断面も、閉断面を愈々変らばいい。他の方は、閉断面は閉断面より約 5 倍の値を示していき。そしてコンク

表-5 最大断面力の比較

| | CASE 0 | 0' | 2 | 2' |
|-------|--------|------|------|------|
| q G-1 | 39.6 | 39.7 | 41.0 | 41.0 |
| q G-2 | 30.7 | 30.7 | 31.1 | 31.1 |
| q G-3 | 26.0 | 25.9 | 25.9 | 25.9 |
| q G-4 | 26.1 | 26.1 | 26.2 | 26.2 |
| q G-1 | 42.8 | 43.4 | 44.6 | 44.6 |
| q G-2 | 34.3 | 34.3 | 34.8 | 34.8 |
| q G-3 | 28.0 | 27.9 | 27.9 | 27.9 |
| q G-4 | 30.4 | 30.6 | 30.7 | 30.7 |
| q G-1 | 5.7 | 2.0 | 0 | 0 |
| q G-2 | 6.2 | 2.0 | 0 | 0 |
| q G-3 | 5.4 | 1.9 | 0 | 0 |
| q G-4 | 4.4 | 1.7 | 0 | 0 |
| q G-1 | 52.3 | 50.9 | 52 | 52.0 |
| q G-2 | 39.1 | 39.7 | 39.6 | 39.6 |
| q G-3 | 36.6 | 38.2 | 36.6 | 36.6 |
| q G-4 | 39.8 | 39.6 | 39.6 | 39.6 |

注) セン断力 A 端部 A
ネジリモーメント B 端部 B

表-6 タワミ(荷荷重)mm

| | G-1 | G-2 | G-3 | G-4 |
|-----|-----|-------|-------|-------|
| 150 | 閉断面 | 557.3 | 406.0 | 375.2 |
| | 開断面 | 88.5 | 76.1 | 72 |
| 200 | 閉断面 | 53.0 | 39.9 | 37.8 |
| | 開断面 | 87.7 | 77.0 | 72 |
| 250 | 閉断面 | 58.7 | 39.5 | 38.0 |
| | 開断面 | 87.1 | 77.6 | 72 |
| 300 | 閉断面 | 50.9 | 39.7 | 38.1 |
| | 開断面 | 86.7 | 78.0 | 72 |

表-9 床版セン断応力 (%)

と開断面は、約 100%、開断面では、約 55% となる。以上のことから、まず試算値によるとセン断応力が実橋に対してどれくらい近似しているかであるが、実橋には必ず実験測定があることなく(首都高速の鋼橋の実験はあそび)非常に困難であるが以下のように決してた。RC 示方書では、 $\sigma_{tb} = 300 \text{ kg/cm}^2$, $Z_{tb} = 23 \text{ cm}^2$ と規定している。

が、その内訳として、表の提案によるとセン断応力は、ネジリによる許容

セン断応力は、 $Z_{tb} = 18 \text{ cm}^2$ であり、組合せ応力として $Z_{tb} = 23 \text{ cm}^2$ 、その差 5 cm^2 がネジリによる影響の割増しと考える。今回では、開断面では安全率 2 をとり、 $Z_{tb} = 11.5 \text{ cm}^2$ とした。そしてその内訳は、 $Z_{tbA} = 2.5 \text{ cm}^2$, $Z_{bab} = 9 \text{ cm}^2$ とある。

開断面では、 $Z_{tb} = 5$ となる。そして $Z_{tb} = 2.5 \times 5 = 12.5 \text{ cm}^2$ を Z_{tab} とした。

これは $= 5 \times 2.5 - 12.5 = 0.5 \text{ cm}^2$ が Z_{tab} となる。以上から本研究では、表-9

から開断面: (Z_{tb} から $R = 250$ m, Z_{tb} から $R = 300$ m 以上, 組合せ Z_{tb} から $R = 350$ m~400m)

閉断面: (Z_{tb} から $R = 300$, Z_{tb} から $R = 300$ m 以下, 組合せ Z_{tb} から $R = 250$ m) = 5.1

Z_b から判断する。ただし、困難であり Z_b から判断すると $R = 300$ m となる。ゆえに

表-10 に決定した。注) Z_b : 曲げ Z_b : ネジリ Z_b : 開断面 Z_b : 閉断面 Z_a : 許容応力 Z_a : 許容セン断応力。

参考文献: 「首都高速公团鉄筋コンクリート床版設計要領」。土木技術、玉野、西山、三浦、「複数箱形曲線橋の実験」。泉満明、「ねじりを受けるコンクリート部材の設計法」。阪神高速公团、橋梁基礎、田中戸、山口、「鋼曲線橋の設計に関する問題点」。阪神高速公团「曲線橋設計要領」

表-7 ネジリモーメント (t.m)

| | G-1 | G-2 | G-3 | G-4 |
|-----|-----|------|------|------|
| 150 | 閉断面 | 44.4 | 40.7 | 33.0 |
| | 開断面 | 5.3 | 4.1 | 4.5 |
| 200 | 閉断面 | 37.7 | 35.3 | 30.4 |
| | 開断面 | 4.6 | 3.0 | 2.9 |
| 250 | 閉断面 | 34.6 | 32.3 | 28.8 |
| | 開断面 | 4.3 | 2.6 | 2.8 |
| 300 | 閉断面 | 31.8 | 30.3 | 27.9 |
| | 開断面 | 4.6 | 3.1 | 3.6 |

表-8 合成桁とすす範囲

